

حل عددی شکل پایستار معادلات تراکم‌پذیر دو بُعدی و غیرهیدروستاتیک جو با استفاده از روش مک کورمک مرتبه دوم

سرمد قادر^{۱*}، عباسعلی علی‌اکبری بیدختی^۲ و سعید فلاحات^۳

^۱ دانشیار، گروه فیزیک فضا، مؤسسه ژئوفیزیک دانشگاه تهران، ایران

^۲ استاد، گروه فیزیک فضا، مؤسسه ژئوفیزیک دانشگاه تهران، ایران

^۳ دانش‌آموخته کارشناسی‌ارشد، گروه فیزیک فضا، مؤسسه ژئوفیزیک دانشگاه تهران، ایران

(دریافت: ۸۸/۹/۸، پذیرش نهایی: ۸۹/۷/۲۸)

چکیده

در پاره‌ای از پدیده‌های جوی اثرات تراکم‌پذیری دارای اهمیت است و همچنین گرادین‌های شدید همراه با این پدیده‌ها، بررسی دقیق آنها را با در نظر گرفتن حالت غیرهیدروستاتیک امکان‌پذیر می‌کند. کار حاضر به حل عددی شکل پایستار معادلات دو بُعدی، غیرهیدروستاتیک و تراکم‌پذیر جو با استفاده از روش مک کورمک مرتبه دوم می‌پردازد. جزئیات مربوط به نحوه گسسته‌سازی معادلات، اعمال شرایط مرزی نابازتابی و مرز سخت و نحوه آغازگری معادلات عرضه شده است. به علاوه در کار حاضر یک روش کلی برای گسسته‌سازی بخش‌های دربرگیرنده جملات توازن هیدروستاتیک در معادلات با تعریف یک ضریب جدید آورده شده است. با به کارگیری آزمون‌های موردی موجود نتایج حل عددی برای شبیه‌سازی تکامل حباب سرد و گرم و همچنین شبیه‌سازی یک جریان گرانی عرضه می‌شود. نتایج عددی به دست آمده و مقایسه کیفی آنها با نتایج موجود مربوط به سایر محققان گویای این مطلب است که روش مک کورمک مرتبه دوم، عملکرد مناسبی در شبیه‌سازی معادلات دو بُعدی و تراکم‌پذیر جو، همانند پدیده‌های همرفت عمیق دارد.

واژه‌های کلیدی: روش مک کورمک مرتبه دوم، معادلات غیرهیدروستاتیک و تراکم‌پذیر، تکامل یک ترمال در جو خنثی

Numerical solution of conservative form of two-dimensional compressible and non-hydrostatic equations of the atmosphere using second-order MacCormack method

Ghader, S.¹, Aliakbari-Bidokhti, A.² and Falahat, S.³

¹ Associate Professor, Space Physics Department, Institute of Geophysics, University of Tehran, Iran

² Professor, Space Physics Department, Institute of Geophysics, University of Tehran, Iran

³ Graduate Student, Space Physics Department, Institute of Geophysics, University of Tehran, Iran

(Received: 29 Nov 2009, Accepted: 20 Oct 2010)

Abstract

This work reports the results of the application of the second-order MacCormack method for numerical solution of the conservative form of two-dimensional non-hydrostatic and fully compressible Navier-Stokes equations governing an inviscid and adiabatic atmosphere.

Various aspects of the computational approach such as discretization of the governing equations for the interior and boundary points, the details of implementation of boundary conditions for different boundary types, i.e., rigid and open boundaries, time step, grid resolution and dissipation are presented.

In addition, it is shown that application of the second-order MacCormack scheme to spatial discretization of the source term in the vertical momentum equation of two-dimensional non-hydrostatic and fully compressible Navier-Stokes equations needs special treatment. In other words, the spatial discretization of this source term should be consistent with the hydrostatic equation and must not degrade its balance. The details of the procedure to reach the discretized version of the vertical momentum equation are also presented.

Several well known test cases including evolution of a warm bubble in a neutral atmosphere (in domains with rigid and open boundary conditions), evolution of a cold bubble in a neutral atmosphere (density current benchmark proposed by Straka et al. (1993)) and a gravity current, are used for numerical experiments.

Qualitative and quantitative comparisons indicate the validity of the results and show that the results of the second-order MacCormack scheme are in good agreement with the published results for the evolution of the warm bubble and the reference solution presented by Straka et al.

Key words: MacCormack Scheme, Finite difference, Compressible, Non-hydrostatic, Atmosphere

۱ مقدمه

اندک و با در نظر گرفتن فرضیات ساده کننده فراوان، امکان پذیر نیست و بنابراین برای پیش بینی رفتار آینده جو و شبیه سازی شارش های جو اغلب از روش های عددی استفاده می شود.

روش مک کورمک که شخصی به همین نام در ۱۹۶۹ آن را ابداع کرد (هافمن، ۲۰۰۱)، یکی از روش های مناسب برای حل عددی شکل پایستار معادلات حاکم بر شماره ها است. این روش در آیرودینامیک و دینامیک گازها کاربردهای فراوان دارد. در تحقیق حاضر حل عددی شکل پایستار معادلات تراکم پذیر دو بُعدی و غیرهیدروستاتیک بی درو با استفاده از روش تفاضل متناهی مک کورمک مرتبه دوم عرضه می شود. روش پیش گفته، با درگیر کردن تنها دو نقطه در فرمول بندی روش، توانایی مناسبی در شبیه سازی میدان های شارش همراه با ناپیوستگی و گرادیان شدید دارد. همچنین ماهیت دونقطه ای این روش باعث ایجاد عملکردی مناسب از لحاظ حجم محاسبات نسبت به سایر روش های تفاضل متناهی مرکزی می شود که معمولاً از سه نقطه در فرمول بندی بهره می برند.

معمولاً به منظور ساده سازی دینامیک حرکت های جوئی مقیاس های مورد بررسی در دینامیک شاره های ژئوفیزیکی به شاخه هایی مانند بزرگ مقیاس، میان مقیاس و خرد مقیاس تقسیم می شوند. در مقیاس های ذکر شده برای حرکت های جوئی مناطقی با گرادیان های شدید برای متغیرهای دینامیکی حاکم بر شارش های جوئی وجود دارند که این مناطق در بررسی های میان مقیاس از اهمیت زیادی برخوردارند. از پدیده های مهمی که در میان مقیاس با خاصیت گرادیان شدید رخ می دهد می توان به پدیده هایی مانند جبهه ها، همرفت، توفان های تندری، جریان های گرانی مانند جبهه های جستی توفان های همرفتی اشاره کرد. این پدیده ها معمولاً با یک افزایش و یا کاهش شدید در کمیت های دینامیکی حاکم بر شاره ها مانند افزایش فشار و یا کاهش دما و حرکات بالاسو و پایین سو شدید همراه هستند (مثلاً بیدختی و همکاران، ۱۳۸۳). چنین شارش هایی با توجه به اهمیت و بزرگی حرکات قائم در آنها برخلاف شارش های بزرگ مقیاس، معمولاً غیرهیدروستاتیک در نظر گرفته می شوند. امکان حل تحلیلی معادلات حاکم بر این شارش ها به جز در موارد

در رابطه بالا u متغیر پیش‌یابی و F تابعی از u است و بسته به اینکه مسئله یک بُعدی، دو بُعدی و یا سه بُعدی باشد، شامل مشتق اول تابع در راستای محورهای مختصات خواهد بود. شکل گسسته معادله بالا در زمان با استفاده از روش مک کورمک به صورت زیر به دست می‌آید:

$$u^* = u^n - \Delta t F(u^n) \Big|_i^F, \quad u^{n+1} = \frac{1}{2}(u^n + u^* - \Delta t F(u^*) \Big|_i^B) \quad (2)$$

همان‌طور که از رابطه پیدا است، روش مک کورمک دومرحله‌ای است که در مرحله اول آن یک مقدار موقتی برای کمیت u پیش‌بینی می‌شود (یعنی u^*) و در مرحله دوم مقدار کمیت u در زمان $n+1$ به دست آورده می‌شود. در رابطه (۲) n نشان‌دهنده گام زمانی و بالانویس‌های F و B به ترتیب نمایانگر عملگرهای پیش‌رو و پس‌رو برای برآورد مشتق مکانی مرتبه اول هستند. در روش مک کورمک مرتبه دوم عملگرهای ذکر شده از روش تفاضل متناهی دو نقطه‌ای مرتبه اول یک‌سویه به دست می‌آیند. برای مثال در مسئله یک بُعدی که شامل مشتق اول تابع در راستای محور x است، عملگرهای پیش‌رو و پس‌رو به صورت زیر به دست می‌آیند:

$$F(u^n) \Big|_i^F = \frac{F_{i+1}^n - F_i^n}{\Delta x}, \quad F(u^*) \Big|_i^B = \frac{F_i^* - F_{i-1}^*}{\Delta x} \quad (3)$$

که در رابطه بالا از تعاریف $F^n = F(u^n)$ و $F^* = F(u^*)$ استفاده شده است.

۲-۱ بررسی دقت

بررسی دقت روش مک کورمک مرتبه دوم در مقایسه با روش‌های مرتبه دوم مرکزی همراه با روش‌های گوناگون گسسته‌سازی زمانی مانند لیپ‌فراگ را فلاح (۱۳۸۷)

تحقیق حاضر با تحقیق صوت گرفته‌مندز-نونز و کرول (۱۹۹۴) دارای نکات مشترکی است. باین حال چند تفاوت اساسی، کار حاضر را از تحقیق ذکر شده متمایز می‌سازد که از جمله آنها می‌توان به موارد زیر اشاره کرد. در این تحقیق به جزئیات نحوه اعمال شرایط مرزی در مرزهای متفاوت به صورت مشروح پرداخته شده است. تعدادی از آزمون‌های مورد استفاده در کار مندرز-نونز و کرول (۱۹۹۴) تنها برای تفکیک‌های کم عرضه شده‌اند. در تحقیق حاضر یک روش کلی برای گسسته‌سازی بخش‌های دربرگیرنده جملات توازن هیدروستاتیک با تعریف یک ضریب جدید آورده شده است. نحوه محاسبه ضریب پیش‌گفته در بخش آغازگری معادلات تشریح شده است. همچنین در کار حاضر از آزمون موردی پیشنهاد شده استراکا و همکاران (۱۹۹۳)، نیز استفاده و نتایج مربوط به آن نیز آورده شده است.

در ادامه ابتدا فرمول‌بندی روش مک کورمک دوم به طور خلاصه عرضه می‌شود. سپس نتایج مربوط به نحوه اعمال و چگونگی حل عددی شکل پایستار معادلات تراکم‌پذیر دو بُعدی و غیرهیدروستاتیک جوی در روش با استفاده از روش مک کورمک مرتبه دوم آورده می‌شود. همچنین جزئیات مربوط به نحوه به دست آوردن و اعمال شرایط مرزی نابازتابی برای فرمول‌بندی روش مک کورمک مرتبه دوم نیز عرضه خواهد شد.

۲ روش مک کورمک مرتبه دوم

جزئیات مربوط به نحوه به دست آوردن فرمول‌بندی روش مک کورمک مرتبه دوم را فلاح (۱۳۸۷) به صورت مشروح ذکر کرده و در اینجا فقط فرمول‌بندی آن به صورت خلاصه ذکر می‌شود. برای معرفی این روش صورت کلی شکل پایستار معادلات به صورت زیر در نظر گرفته می‌شود:

$$\frac{\partial u}{\partial t} + F(u) = 0 \quad (1)$$

$$\frac{\partial p}{\partial t} + \nabla \cdot (\rho \vec{U}) = 0$$

$$\frac{\partial \theta}{\partial t} + u \frac{\partial \theta}{\partial x} + w \frac{\partial \theta}{\partial z} = 0$$

(۴)

در این معادلات ρ معرف چگالی، u مولفه افقی سرعت، w مولفه قائم سرعت، $\vec{U} = (u, w)^T$ بردار سرعت که در آن T معرف ترانهاده، p فشار، g شتاب گرانی و θ معرف دمای پتانسیلی هستند. دمای پتانسیلی برای یک بسته هوا با فشار p و دمای T با رابطه زیر بیان می‌شود:

$$\theta = T \left(\frac{p_0}{p} \right)^{\frac{R_d}{C_p}} \quad (5)$$

در رابطه بالا، $p_0 (= 1000 \text{ hPa})$ معرف فشار در تراز مرجع، C_p ظرفیت گرمایی ویژه گاز در فشار ثابت و R_d ثابت گاز برای هوای خشک است. همان‌طور که در معادلات (۴) مشاهده می‌شود تعداد متغیرهای وابسته که همان p ، θ ، ρ ، u و w هستند از تعداد معادلات بیشترند. برای رسیدن به یک دستگاه معادلات بسته به یک رابطه کمکی نیاز است. این رابطه همان رابطه دمای پتانسیلی (۵) است که با استفاده از معادله حالت گاز کامل $p = \rho R_d T$ به شکل زیر بازنویسی می‌شود:

$$p = p_0 \left(\frac{\rho \theta R_d}{p_0} \right)^{\frac{C_p}{C_v}} \quad (6)$$

در رابطه بالا C_v ظرفیت گرمایی گاز در حجم ثابت است.

برای حل عددی معادلات (۴) به کمک روش مک کورمک می‌باید از شکل پایستار معادلات ذکر شده استفاده کرد. شکل پایستار این معادلات را می‌توان به صورت برداری زیر نوشت:

$$\frac{\partial \mathbf{V}}{\partial t} + \frac{\partial \mathbf{E}}{\partial x} + \frac{\partial \mathbf{F}}{\partial z} = \mathbf{H} \quad (7)$$

عملی ساخته است. در این بررسی از روش‌های پیش گفته برای حل دو معادله مدل یک بُعدی یعنی معادلات فرارفت و برگرز ناؤشکسان که دارای حل تحلیلی هستند، استفاده شده است. بررسی صورت گرفته برای مسائل مدل با حل تحلیلی نشان می‌دهد که هنگام حضور ناپیوستگی در میدان حل روش مک کورمک مرتبه دوم نسبت به روش‌های تفاضل متناهی مرکزی عملکرد بهتری دارد. البته برای میدان‌های شارش هموار (بدون حضور ناپیوستگی) نیز روش پیش گفته با توجه به ماهیت دونقطه‌ای خود، علاوه بر تأمین دقت مناسب، از لحاظ حجم محاسبات نیز عملکرد بسیار مناسبی دارد.

۳ گسسته‌سازی معادلات حاکم

در این بخش به نحوه گسسته‌سازی شکل پایستار معادلات تراکم‌پذیر دو بُعدی و غیرهیدروستاتیک جو بی‌درروی خشک با استفاده از روش تفاضل متناهی مک کورمک مرتبه دوم پرداخته می‌شود.

۱-۳ معادلات حاکم

در تحقیق حاضر از معادلات ناویر-استوکس در دو بُعد و در صفحه $x-z$ که در آنها از تغییرات متغیرها در راستای محور y صرف نظر می‌شود، بدون در نظر گرفتن اثر چرخش برای شرایط ناؤشکسان، بی‌درروی خشک و تراکم‌پذیر استفاده شده است. دستگاه معادلات ذکر شده در چنین حالتی که به معادلات اویلر معروف است (دورن ۱۹۹۹) از چهار معادله به نام‌های معادلات تکانه در راستاهای افقی و قائم، معادله پیوستگی و پایستگی دمای پتانسیلی تشکیل شده است. این چهار معادله به صورت زیر بیان می‌شوند:

$$\frac{\partial u}{\partial t} + u \frac{\partial u}{\partial x} + w \frac{\partial u}{\partial z} = -\frac{1}{\rho} \frac{\partial p}{\partial x}$$

$$\frac{\partial w}{\partial t} + u \frac{\partial w}{\partial x} + w \frac{\partial w}{\partial z} = -\frac{1}{\rho} \frac{\partial p}{\partial z} - g$$

آغاز‌گیری مدل آمده است. با وجود این ذکر این نکته در اینجا ضرورت دارد که جمله دربردارنده چگالی در معادلات حاکم و یا به عبارت دیگر متغیر برداری H ، یکی از جمله‌های کلیدی در حل عددی معادلات غیرهیدروستاتیک و تراکم‌پذیر است. این جمله که از نظر دینامیکی، جفت‌شدگی با عبارت $\frac{\partial p}{\partial z}$ و یا به عبارت دیگر همان گرادیان فشار در راستای قائم دارد، در واقع گذار بین حالت هیدروستاتیک و غیرهیدروستاتیک را بیان می‌کند.

همان‌گونه که در رابطه (۹) مربوط به مرحله پیشگو روش مک کورمک مشاهده می‌شود، برای برآورد مشتق مرتبه اول متغیرهای برداری E و F به ترتیب از عملگرهای پیش‌رو و پس‌رو استفاده شده است. در مقابل برخلاف مرحله پیشگو در مرحله مصحح در رابطه (۱۰) برای برآورد مشتق متغیرهای برداری E^* و F^* به ترتیب از عملگرهای پیش‌رو و پس‌رو استفاده شده است. چنین ترکیب جایگشتی از عملگرها که بدان اشاره شد، با نماد FB/BF نام‌گذاری می‌شود. در اینجا باید به یکی از مهم‌ترین نکاتی که در هنگام استفاده از طرحواره مک کورمک می‌باید رعایت شود، اشاره کرد. چون عملگرهای پیش‌رو و پس‌رو عملگرهای یک‌سویه‌اند، بنابراین برای حفظ تقارن در میدان حل عددی در عمل بهتر است که هنگام حل عددی علاوه بر جای‌گشت FB/BF از جای‌گشت‌های BF/BB ، BF/FF و BB/FF برای گام‌های زمانی متوالی استفاده شود که این نکته در هنگام حل عددی معادلات در تحقیق حاضر رعایت شده است.

با توجه به اینکه هنگام انتگرال‌گیری شکل اولی‌ری معادلات حاکم بر شاره ناپایداری غیرخطی به دلیل خطای دگرنامیدن ناشی از اندرکنش‌های غیرخطی به وجود می‌آید، می‌باید این ناپایداری غیرخطی به وجود آمده با

که در رابطه بالا بُرداری‌های مربوط به صورت زیر تعریف شده‌اند:

$$\begin{aligned} \mathbf{V} &= (\rho, \rho u, \rho w, \rho \theta)^T \\ \mathbf{E} &= (u\rho, u\rho u + p, u\rho w, u\rho \theta)^T \\ \mathbf{F} &= (w\rho, w\rho u, w\rho w + p, w\rho \theta)^T \\ \mathbf{H} &= (0, 0, -\rho g, 0)^T \end{aligned} \quad (8)$$

که در روابط بالا T معرف ترانهاده یک ماتریس می‌باشد.

۲-۳ گسسته‌سازی معادلات حاکم به کمک روش مک کورمک مرتبه دوم

اگر از روش مک کورمک برای حل عددی معادله (۷) استفاده شود، شکل گسسته رابطه فوق مشتمل بر دو مرحله پیشگو و مصحح به صورت زیر خواهد بود:

$$\begin{aligned} V_{i,k}^* &= V_{i,k}^n - \Delta t \left. \frac{\partial E}{\partial x} \right|_{i,k}^F - \Delta t \left. \frac{\partial F}{\partial z} \right|_{i,k}^B + \\ &\Delta t \left[\alpha_{k,k-1} H_{i,k}^n + (1 - \alpha_{k,k-1}) H_{i,k-1}^n \right] \end{aligned} \quad (9) \text{ مرحله پیشگو}$$

$$\begin{aligned} V_{i,k}^{n+1} &= \frac{1}{2} \left[V_{i,k}^n + V_{i,k}^* - \Delta t \left. \frac{\partial E^*}{\partial x} \right|_{i,k}^B - \Delta t \left. \frac{\partial F^*}{\partial z} \right|_{i,k}^F + \right. \\ &\left. \Delta t (\alpha_{k,k+1} H_{i,k}^* + (1 - \alpha_{k,k+1}) H_{i,k+1}^*) \right] \end{aligned} \quad (10) \text{ مرحله مصحح}$$

که در روابط بالا ضرایب $\alpha_{k,k-1}$ و $\alpha_{k,k+1}$ برای تعیین چگالی یک لایه از چگالی دو تراز متوالی تشکیل‌دهنده آن لایه، مورد استفاده قرار گرفته‌اند. این ضرایب در تحقیق حاضر برای حل عددی معادلات تراکم‌پذیر و غیرهیدروستاتیک که از عملگرهای ضمنی پیش‌رو و پس‌رو در حل عددی بهره می‌برند، معرفی می‌شوند. فلسفه انتخاب این ضرایب و جزئیات دقیق ریاضی مربوط به محاسبه این ضرایب به‌طور مشروح در مبحث مربوط به

۴-۱ شرایط مرزی

هندسه انتخاب شده برای حل عددی معادلات تراکم‌پذیر و غیرهیدروستاتیک جو حوزه‌ای مستطیل‌شکل در صفحه $x-z$ است. فرض می‌شود که مانند جو واقعی مرز پایین حوزه محاسباتی ذکر شده، زمین و یا به عبارت دیگر مرز سخت باشد که مولفه عمودی سرعت در این مرز یعنی سرعت قائم، صفر خواهد بود. سه مرز دیگر یعنی مرزهای کناری و بالا، مرز باز (نابازتابی) انتخاب می‌شوند. مرز باز به این معنی است که امواج به وجود آمده در حوزه، مانند موج صوتی بتوانند حوزه را بدون اینکه اثری بر شرایط داخل آن بگذارند، ترک کنند. چنین تعریف و دیدگاهی از مرز باز در جو واقعی می‌تواند درست باشد ولی باید این نکته را در نظر گرفت که در هنگام حل عددی معادلات حاکم این مرزهای فیزیکی می‌باید به مرزهای محاسباتی تبدیل شوند و یا به عبارت دیگر از نظر عددی و محاسباتی محدود می‌شوند. شبیه‌سازی مرزهای باز و اثرات بازتاب و عبور امواج از این مرزها مسئله بسیار مهمی است که در تحقیق حاضر به آن پرداخته شده است. در مدل‌هایی که در آنها از معادلات تراکم‌پذیر برای شبیه‌سازی جو استفاده می‌شود، امواج صوتی سریع‌ترین امواج هستند که در زمان کوتاهی، در حدود یک دقیقه، مسافت زیادی در حدود 18 km را می‌پیمایند. برای جلوگیری از به وجود آمدن مشکلاتی مانند بازتاب امواج صوتی از مرزهای کناری و بالا در حل عددی، شرایط مرزی باید به گونه‌ای انتخاب شود که بازتاب امواج در مرزها به حداقل خود برسد. توجه به تجارب عددی که در تحقیق حاضر و همچنین تحقیق مندز-نونز و کرول (۱۹۹۴) به دست آمده است، نشان می‌دهد که در طرحواره مک کورمک با در نظر گرفتن شرایط گرادیان شار صفر برای مرزهای کناری و بالا، مشکل بازتاب امواج صوتی از مرزها از بین می‌رود و به عبارت دیگر مرزها نابازتابی می‌شوند.

استفاده یک ابزار مناسب عددی مانند پالایه یا اتلاف مصنوعی کنترل شود. در کار حاضر برای جلوگیری از ناپایداری غیرخطی در حل عددی معادلات تراکم‌پذیر دو بُعدی و غیرهیدروستاتیک جو بی‌درروی خشک از اتلاف مصنوعی استفاده شده است. اگرچه طرحواره مک کورمک دارای یک میرایی ذاتی است و این میرایی می‌تواند بخشی از اندرکنش‌های غیرخطی را کنترل کند، با وجود این با توجه به پیچیدگی میدان‌شاره در شارش‌های غیرهیدروستاتیک و تراکم‌پذیر دو بُعدی، استفاده از عبارت‌های اتلاfi برای جلوگیری از ناپایداری غیرخطی لازم و ضروری است. جمله اتلاfi که در تحقیق حاضر برای حل عددی مسئله معادلات تراکم‌پذیر دو بُعدی و غیرهیدروستاتیک جو بی‌درروی خشک به کار رفته است، با متغیر برداری زیر نمایش داده می‌شود:

$$\mathbf{D} = (0, \nu \nabla \cdot \rho \nabla u, \nu \nabla \cdot \rho \nabla w, \nu \nabla \cdot \rho \nabla \theta)^T \quad (11)$$

که در آن ν پارامتری است که با آزمایش عددی به دست می‌آید و همچنین مقدار آن به تفکیک انتخاب شده در حل عددی نیز بستگی دارد. در حل عددی معادلات تراکم‌پذیر دو بُعدی و غیرهیدروستاتیک جو بی‌درروی خشک با استفاده از روش مک کورمک، متغیر برداری \mathbf{D} به سمت راست رابطه (۷) اضافه می‌شود.

۴ حل عددی معادلات

در این قسمت به نتایج حل عددی شکل پایستار معادلات حاکم با استفاده از روش مک کورمک مرتبه دوم پرداخته می‌شود. برای حل عددی از چند آزمون موردی (test case) که اغلب از سوی محققان مورد استفاده قرار می‌گیرند، استفاده شده است. ابتدا پیش از ورود به بحث اصلی نکاتی در مورد شرایط مرزی و نحوه آغازگری معادلات ذکر می‌شود و در ادامه به نتایج حل عددی پرداخته خواهد شد.

$$V_{i,N}^* = V_{i,N}^n - \Delta t \left. \frac{\partial E}{\partial x} \right|_{i,N}^F - \Delta t \left. \frac{\partial F}{\partial z} \right|_{i,N}^B + \Delta t \left[\alpha_{N,N-1} H_{i,N}^n + (1 - \alpha_{N,N-1}) H_{i,N-1}^n \right] \quad (14)$$

مرحله پیشگو

$$V_{i,N}^{n+1} = \frac{1}{2} \left[V_{i,N}^n + V_{i,N}^* - \Delta t \left. \frac{\partial E^*}{\partial x} \right|_{i,N}^B - \Delta t \left. \frac{\partial F^*}{\partial z} \right|_{i,N}^F + \Delta t \left(\alpha_{N,N+1} H_{i,N}^* + (1 - \alpha_{N,N+1}) H_{i,N+1}^* \right) \right] \quad (15)$$

مرحله مصحح

شرایط مرزی در مرز بالا را می‌توان به گونه‌ای انتخاب کرد که توازن هیدروستاتیک بین مرز بالا ($k = N$) و فضای خارج حوزه ($k > N$) همواره برقرار باشد و یا به عبارت دیگر رابطه زیر همواره در مرز بالا برقرار باشد:

$$\left. \frac{\partial p}{\partial z} \right|_{i,N}^F = -\rho g \quad (16)$$

ذکر این نکته ضرورت دارد که چگالی به کار رفته در رابطه بالا، چگالی یک لایه از شاره است و نباید این مفهوم با چگالی یک نقطه در طرحواره تفاضل متناهی اشتباه شود. همچنین هر لایه شاره از دو تراز تشکیل شده است. بنابراین در ساده‌ترین شکل ممکن می‌توان چگالی یک لایه را به صورت ترکیب خطی از چگالی دو تراز تشکیل‌دهنده آن تقریب زد و این موضوعی است که در بخش آغازگری بیشتر به آن پرداخته خواهد شد. برای اعمال شرط گرادیان صفر در مرز بالا، بردار شار F^* در مرحله مصحح که شامل جمله فشار p است به صورت زیر به دو متغیر برداری تجزیه می‌شود:

$$\mathbf{F}^* = \mathbf{F}_1^* + \mathbf{F}_2^* \quad (17)$$

که در روابط بالا متغیرهای برداری F_1^* و F_2^* به صورت زیر هستند:

$$\begin{aligned} \mathbf{F}_1^* &= (w^* \rho^*, w^* \rho^* u^*, w^* \rho^* w^*, w^* \rho^* \theta^*)^T \\ \mathbf{F}_2^* &= (0, 0, p^*, 0)^T \end{aligned} \quad (18)$$

اگر از تجزیه برداری فوق در رابطه (۱۵) استفاده شود، رابطه زیر به دست می‌آید:

اکنون با توجه نکات ذکر شده، روابط مرزی برای مرزهای کناری و بالا برای مرحله پیشگو و مصحح روش مک کورمک نوشته می‌شود. شرایط مرزی گرادیان شار صفر به معنی صفر بودن مشتق متغیرهای برداری در جهت عمود به بیرون مرزها است. به عبارت دیگر عملگر پیش‌رو در مرز سمت راست و عملگر پس‌رو در مرز سمت چپ برای برآورد مشتق مرتبه اول در راستای x و عملگر پیش‌رو در مرز بالا برای برآورد مشتق مرتبه اول در راستای z برابر صفر است. در ادامه نحوه اعمال این شرایط مرزی به صورت خلاصه برای هر یک از متغیرهای برداری درگیر تشریح می‌شود. برای مثال مرز سمت راست یعنی ($i = m$) که m تعداد نقاط شبکه در راستای محور x است) در نظر گرفته می‌شود. شکل گسسته معادلات در رابطه (۷) در این مرز به صورت زیر است:

$$V_{m,k}^* = V_{m,k}^n - \Delta t \left. \frac{\partial F}{\partial z} \right|_{m,k}^B + \Delta t \left[\alpha_{k,k-1} H_{m,k}^n + (1 - \alpha_{k,k-1}) H_{m,k-1}^n \right] \quad (12)$$

مرحله پیشگو

$$\begin{aligned} \mathbf{V}_{m,k}^{n+1} &= \frac{1}{2} \left[\mathbf{V}_{m,k}^n + \mathbf{V}_{m,k}^* - \Delta t \left. \frac{\partial \mathbf{E}^*}{\partial x} \right|_{m,k}^B - \Delta t \left. \frac{\partial \mathbf{F}^*}{\partial z} \right|_{m,k}^F + \right. \\ &\left. \Delta t (\alpha_{k,k+1} \mathbf{H}_{m,k}^* + (1 - \alpha_{k,k+1}) \mathbf{H}_{m,k+1}^*) \right] \end{aligned} \quad (13)$$

مرحله مصحح

همان گونه که در رابطه (۱۲) مشاهده می‌شود، برای عبارت

$$\left. \frac{\partial \mathbf{E}^n}{\partial x} \right|_{m,k}^n$$

صفر مقدار صفر در نظر گرفته شده است. روابط مرزی برای مرز سمت چپ ($i=1$) مشابه مراحل محاسبه‌ای صورت گرفته برای مرز سمت راست به دست می‌آید. برای اعمال شرط گرادیان صفر برای مرز بالا ($k = N$) که مشابه با مرزهای کناری است، ابتدا شکل گسسته معادلات در رابطه (۷) در این مرز به صورت زیر در نظر گرفته می‌شود:

$$\mathbf{V}_{i,1}^n = 2\mathbf{V}_{i,2}^n - \mathbf{V}_{i,3}^n \quad (22)$$

ذکر این نکته ضرورت دارد که در کار حاضر از رابطه بالا برای همه مرزهای سخت استفاده شده است.

۲-۴ آغازگری

با توجه به اینکه دستگاه معادلات دیفرانسیلی انتخاب شده در تحقیق حاضر، معادلات اویلر ناپایا است، می باید برای مقادیر مجهول در این دستگاه معادلات که شامل متغیرهای ρ ، u ، w ، θ ، p هستند، مقادیر اولیه انتخاب شود. در شبیه سازی جو غیرهیدروستاتیک در دو حالت تراکم پذیر و تراکم ناپذیر عموماً جو در زمان نخست در حالت سکون و در توازن کامل هیدروستاتیک در نظر گرفته می شود. بنابراین اگر شرایط اولیه و یا رفتار جو در آغاز حل عددی به صورت جو ساکن و در توازن هیدروستاتیک مطلق باشد، آنگاه کمیت های میدان اولیه به صورت زیرند:

$$u = 0, w = 0, \frac{\partial p}{\partial z} = -\rho g \quad (23)$$

که رابطه سوم در بالا معرف توازن هیدروستاتیک است. فرایند آغازگری بدین ترتیب است که از فشار سطح زمین که با p_s نشان داده می شود در حکم ورودی اولیه در مدل استفاده می شود. فشار سطح زمین معمولاً در محاسبات عددی برابر با یک مقدار مانند $p_s = 1000 \text{ hPa}$ در نظر گرفته می شود. سپس از میدان دمای پتانسیل اولیه در حکم ورودی دوم در مدل استفاده می شود. هدف در آغازگری مدل این است که با دانستن میدان دمای پتانسیل و فشار سطح زمین، فشار در همه حوزه محاسباتی به دست آید و سپس با دانستن میدان فشار در کل حوزه با استفاده از رابطه دمای پتانسیل چگالی در کل حوزه به دست آید. برای تحقق این هدف، تابع اکسنر (Exner Function) بی بُعد که با رابطه زیر بیان می شود مورد استفاده قرار

$$\mathbf{V}_{i,N}^{n+1} = \frac{1}{2} \left[\mathbf{V}_{i,N}^n + \mathbf{V}_{i,N}^* - \Delta t \frac{\partial \mathbf{E}^*}{\partial x} \Big|_{i,N}^B - \Delta t \frac{\partial \mathbf{F}_1^*}{\partial z} \Big|_{i,N}^F - \Delta t \frac{\partial \mathbf{F}_2^*}{\partial z} \Big|_{i,N}^F + \Delta t (\alpha_{N,N+1} \mathbf{H}_{i,N}^* + (1 - \alpha_{N,N+1}) \mathbf{H}_{i,N+1}^*) \right] \quad (19) \text{ مرحله مصحح}$$

در این مرحله از دو شرط مرزی زیر که به ترتیب شرایط مرزی گرادیان صفر برای متغیر برداری \mathbf{F}_1^* و توازن هیدروستاتیک برای متغیر برداری \mathbf{F}_2^* استفاده می شود.

$$\begin{aligned} \frac{\partial \mathbf{F}_1^*}{\partial z} \Big|_{i,N}^F &= 0 \\ \frac{\partial \mathbf{F}_2^*}{\partial z} \Big|_{i,N}^F &= \Delta t (\alpha_{N,N+1} \mathbf{H}_{i,N}^* + (1 - \alpha_{N,N+1}) \mathbf{H}_{i,N+1}^*) \end{aligned} \quad (20)$$

با اعمال دو رابطه بالا به روابط (۱۴) و (۱۵) مربوط به مرز بالا، شکل گسسته معادلات در این مرز به دست می آید. اکنون نوبت آن می رسد که در مورد مرز پایین مطالبی آورده شود. مهم ترین ویژگی مرز پایین که همان زمین و از نوع مرز سخت است، صفر بودن مولفه عمودی سرعت بر آن است. علاوه بر قید ذکر شده از دو قید زیر مطابق با آنچه که للی (۱۹۶۲) بیان کرده است و به ترتیب معرف قید و شکسان و عایق برای مرز سخت است، برای مرز پایین ($k=1$) استفاده می شود:

$$\begin{aligned} \frac{\partial u}{\partial z} \Big|_{i,1} &= 0 \\ \frac{\partial \theta}{\partial z} \Big|_{i,1} &= 0 \end{aligned} \quad (21)$$

تجارب عددی که فلاح (۱۳۸۷) و همچنین گاتلیب و ترکل (۱۹۸۷) به دست آورده اند، نشان می دهد که از رابطه زیر که در واقع برون یابی خطی از نقاط داخلی حوزه است، می توان برای محاسبه کمیت های میدان در مرز پایین استفاده کرد.

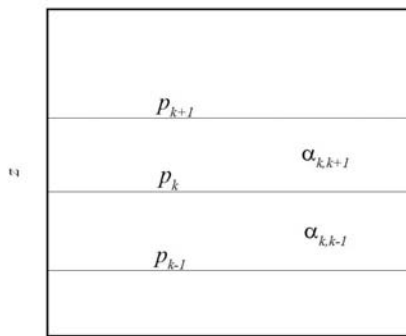
می‌گیرد:

$$\rho = \frac{p}{R_d \theta} \left(\frac{p_0}{p} \right)^{\frac{R_d}{C_p}} \quad (28)$$

در اینجا لازم است در ارتباط با ضرایب $\alpha_{k,k+1}$ و $\alpha_{k,k-1}$ که در بخش گسسته‌سازی معادلات حاکم با استفاده از روش مک‌کورمک به آن اشاره شد، مطالبی آورده شود. مطابق با آنچه که للی (۱۹۶۲) بیان کرده است، در حل عددی شکل پایستار معادلات تراکم‌پذیر جو، بردار شامل چگالی یعنی H در رابطه (۷) در شکل گسسته آن را می‌باید به صورت ترکیب خطی دو تراز و یا چند تراز متوالی نوشت. در شکل ۱ ترازهای متوالی $k+1$ ، k و $k-1$ با فشارهای مربوط به هر تراز نشان داده شده است. در تحقیق حاضر از ترکیب خطی دو تراز متوالی برای بیان شکل گسسته بردار H استفاده شده است به طوری که روابط زیر برای شکل گسسته رابطه توازن هیدروستاتیک برای دو تراز متوالی k و $k+1$ به کار می‌رود:

$$\left. \frac{\partial p}{\partial z} \right|_{i,k}^F = -g \left(\alpha_{k,k+1} \rho_k + (1 - \alpha_{k,k+1}) \rho_{k+1} \right)$$

$$\left. \frac{\partial p}{\partial z} \right|_{i,k+1}^B = -g \left(\alpha_{k,k+1} \rho_{k+1} + (1 - \alpha_{k,k+1}) \rho_k \right) \quad (29)$$



شکل ۱. ترازهای متوالی $k-1$ ، k و $k+1$ با فشارهای مربوطه. ضرایب $\alpha_{k,k+1}$ و $\alpha_{k,k-1}$ به ترتیب برای برآورد چگالی لایه‌های شامل ترازهای ذکر شده در رابطه توازن هیدروستاتیک به کار می‌روند.

$$\pi = \left(\frac{p}{p_0} \right)^{\frac{R_d}{C_p}} \quad (24)$$

که در آن فشار مرجع $p_0=1000$ hPa است. اگر از تابع اکسیر نسبت به ارتفاع قائم مشتق گرفته شود و از معادله هیدروستاتیک استفاده شود، رابطه زیر به دست می‌آید:

$$\frac{d\pi}{dz} = -\frac{g}{C_p \theta(z)} \quad (25)$$

در این مرحله می‌باید از رابطه بالا به طور عددی بین دو تراز Z_1 و Z_2 با دو دمای پتانسیل متناظر $\theta(Z_1)$ و $\theta(Z_2)$ انتگرال‌گیری شود. مطابق با روشی که کرول و همکاران (۱۹۸۷) بیان کرده‌اند، نتیجه این انتگرال‌گیری با روابط زیر بیان می‌شود:

$$\pi_2 - \pi_1 = \begin{cases} -\frac{g}{C_p \theta} (z_2 - z_1), & \theta(z_1) = \theta(z_2) \\ -\frac{g(z_2 - z_1)}{C_p (\theta(z_2) - \theta(z_1))} \ln \left(\frac{\theta(z_2)}{\theta(z_1)} \right), & \theta(z_1) \neq \theta(z_2) \end{cases} \quad (26)$$

که در آن π_1 و π_2 به ترتیب توابع اکسیر ترازهای Z_1 و Z_2 هستند. با معلوم بودن فشار سطح p_s از رابطه (۲۴) تابع اکسیر سطح زمین پیدا می‌شود. سپس از رابطه (۲۶) و با توجه به نیم‌رخ دمای پتانسیل در هر لایه، توابع اکسیر ترازهای بعدی از روی تابع اکسیر سطح زمین پیدا می‌شود. اکنون با توجه به اینکه تابع اکسیر در همه ترازها معلوم است، فشار در همه ترازها از رابطه زیر به دست می‌آید:

$$p = p_0 \pi^{\frac{C_p}{R_d}} \quad (27)$$

اکنون میدان فشار p و دمای پتانسیل θ در همه نقاط حوزه معلوم است. تنها میدان باقی مانده میدان چگالی ρ است که این میدان نیز به آسانی از رابطه دمای پتانسیلی با دانستن میدان دمای پتانسیلی و میدان فشار با رابطه زیر به دست می‌آید:

عملگرهای پیش‌رو و پس‌رو مرتبه اول موجود در رابطه برای به‌دست آوردن گرادیان فشار در راستای قائم استفاده می‌شود، چگالی هر لایه را می‌توان با میانگین چگالی دو تراز تشکیل دهنده آن لایه به‌دست آورد.

در ادامه به نتایج حاصل از حل عددی معادلات تراکم‌پذیر و ناؤشکسان جو با استفاده از روش مک‌کورمک مرتبه دوم پرداخته می‌شود. برای درک توانمندی روش‌های عددی مورد استفاده در حل معادلات جو غیرهیدروستاتیک معمولاً از پدیده‌های گوناگونی استفاده می‌شود. برای مثال شبیه‌سازی تکامل حباب سرد (Cold Bubble) و گرم (Warm Bubble) و همچنین شبیه‌سازی یک جریان گرانی نمونه‌هایی از پدیده‌های استاندارد مورد استفاده در شبیه‌سازی جو غیرهیدروستاتیک برای بررسی عملکرد روش عددی انتخاب شده در حل معادلات حاکم بر جو ذکر شده‌اند. از میان پدیده‌های پیش‌گفته، پدیده تکامل یک حباب گرم، یک حباب سرد و جریان گرانی در جو در شرایط خنثی با استفاده از حل عددی معادلات تراکم‌پذیر و غیرهیدروستاتیک جو به روش مک‌کورمک مرتبه دوم مورد تحلیل قرار می‌گیرد. حباب گرم یا سرد یک ترمال از نوع همرفت شناوری از چشمه آبی است، به‌طوری‌که چگالی شاره با محیط متفاوت و محیط خیلی بزرگ‌تر از ابعاد چشمه است. به‌عبارت‌دیگر ترمال‌ها چشمه‌های شناوری ناپیوسته‌ای هستند که به‌صورت توده‌های شناوری ناگهان آزاد می‌شوند، در محیط به‌طور قائم حرکت می‌کنند و دارای حرکتی به‌صورت ستونی و قارچی هستند. پدیده ترمال به دو صورت عددی و آزمایشگاهی سالیان دراز است که نظر دانشمندان و محققان را به خود جلب کرده است؛ از آن جمله می‌توان به کارهای للی (۱۹۶۲)، تریپلی (۱۹۹۲)، مندز-نوز و کرول (۱۹۹۴) و استراکا و همکاران (۱۹۹۳) و نشعت و لیندرمن (۲۰۰۷) اشاره کرد.

همان‌طور که در رابطه بالا مشاهده می‌شود مجموع ضرایب چگالی دو تراز متوالی برابر با یک است که این معرف سازگاری با رابطه هیدروستاتیک یعنی رابطه (۲۳) است. اکنون می‌باید با دانستن میدان فشار و گرادیان آن در راستای محور قائم رابطه‌ای برای ضرایب $\alpha_{k,k+1}$ به‌دست آورد. با اندکی عملیات جبری روی رابطه بالا که جزئیات دقیق‌تر آن را فلاحت (۱۳۸۷) بیان کرده است، عبارت زیر برای ضریب $\alpha_{k,k+1}$ به‌دست می‌آید:

$$\alpha_{k,k+1} = \frac{-\left.\frac{\partial p}{\partial z}\right|_{i,k+1}^B - \rho_k}{g} = \frac{\left.\frac{\partial p}{\partial z}\right|_{i,k}^F - \left.\frac{\partial p}{\partial z}\right|_{i,k+1}^B - 2\rho_k}{g} \quad (30)$$

برای درک بیشتر از مراحل محاسباتی ذکر شده در بالا، برای نمونه عملگرهای پیش‌رو و پس‌رو مرتبه اول برای محاسبه گرادیان فشار در راستای قائم به‌صورت زیر در نظر گرفته می‌شود:

$$\left.\frac{\partial p}{\partial z}\right|_{i,k}^F = \frac{P_{i,k+1} - P_{i,k}}{\Delta z}, \quad \left.\frac{\partial p}{\partial z}\right|_{i,k+1}^B = \frac{P_{i,k+1} - P_{i,k}}{\Delta z} \quad (31)$$

دو عملگر موجود در روابط بالا، در واقع همان عملگرهای پیش‌رو و پس‌رو هستند که در روش مک‌کورمک مرتبه دوم برای برآورد مشتق مرتبه اول مورد استفاده قرار می‌گیرند. نکته جالبی که در روابط بالا دیده می‌شود این است که عملگر پیش‌رو در تراز k برابر با عملگر پس‌رو در تراز $k+1$ است. با جایگذاری دو رابطه بالا در رابطه ضریب $\alpha_{k,k+1}$ که برای برآورد چگالی یک لایه به‌کار می‌رود، برابر با مقدار زیر می‌شود:

$$\alpha_{k,k+1} = \frac{1}{2} \quad (32)$$

رابطه بالا معرف این حقیقت است که هنگامی که از

دستخوش تغییر و پریشیدگی قرار نگیرد. برای تحقق این هدف می‌باید چگالی پریشیدگی به میدان اولیه طوری اعمال شود که سمت راست رابطه زیر که تابعی از فشار است ثابت بماند:

$$\rho\theta = \frac{P}{R_d} \left(\frac{p_0}{p} \right)^{\frac{R_d}{C_p}} \quad (36)$$

که در رابطه بالا میدان دمای پتانسیلی θ از دو بخش پریشیدگی و میانگین که با رابطه زیر بیان می‌شوند، تشکیل شده است:

$$\theta = \theta(z) + \theta'(x, z, t) \quad (37)$$

که در آن $\theta(z)$ مربوط به حالتی است که جو در توازن هیدروستاتیک مطلق قرار دارد. تجربه عددی به دست آمده در تحقیق حاضر نشان می‌دهد که اگر نکاتی که در ارتباط با پریشیدگی میدان اولیه چگالی بیان شد در هنگام حل عددی رعایت نشود، یک موج شوک در هنگام حل عددی به وجود می‌آید که نتایج حل عددی را با به وجود آمدن پریشیدگی زیاد برای متغیرهای میدانی خراب می‌کند. همچنین برای شرایط جوی خنثی که در آن مقدار اولیه $\theta(z)$ با ارتفاع ثابت است، $\theta(z)$ برابر با 300 K در نظر گرفته شده است.

برای شبیه‌سازی عددی حرکت ترمال از تفکیک 801×301 متناظر با فاصله شبکه‌ای یکسان 50 m در دو راستای محور مختصات، استفاده شده است. گام زمانی متناظر با تفکیک ذکر شده از شرط پایداری خطی روش مک کورمک مرتبه دوم که فلاح (۱۳۸۷) مورد بررسی قرار داده است، انتخاب می‌شود. با توجه به اینکه در مدل‌های تراکم‌پذیر جو بزرگ‌ترین سرعت موجود در حوزه، سرعت صوت است، شرط پایداری خطی در تحقیق حاضر برای یک شبکه یکنواخت در دو راستای محور مختصات با رابطه زیر بیان می‌شود:

$$\frac{\sqrt{2} C_s \Delta t}{\Delta x} \leq 1 \quad (38)$$

۳-۴ نتایج حل عددی مربوط به حباب گرم در جو خنثی

حوزه انتخاب شده برای بررسی تکامل یک حباب گرم در شرایط جوی خنثی یک شبکه مستطیلی با ابعاد 40 km طول و 15 km ارتفاع است. در مورد شرایط مرزی این حوزه محاسباتی در بخش مربوط به شرایط مرزی بحث شد. منظور از شرایط خنثی برای جو این است که آهنگ کاهش دما برای محیط برابر با آهنگ کاهش دمای بی‌درو است به طوری که بسامد شناوری برابر با صفر است. به عبارت دیگر گرادیان قائم دمای پتانسیل محیط برابر با صفر است. حباب گرم در چنین شرایطی می‌تواند بدون اینکه از طرف محیط محدودیتی در حرکت آن ایجاد شود، در راستای قائم حرکت کند. برای شبیه‌سازی حباب گرم از پریشیدگی میدان دمای پتانسیلی اولیه استفاده می‌شود. میدان پریشیدگی دمای پتانسیل با تابع زیر تعریف می‌شود.

$$\theta' = 6.6 \cos^2 \left(\frac{\pi\beta}{2} \right), \quad \beta \leq 1 \quad (39)$$

که در آن پارامتر β با رابطه زیر تعریف می‌شود:

$$\beta = \sqrt{\left(\frac{x - x_c}{x_r} \right)^2 + \left(\frac{z - z_c}{z_r} \right)^2} \quad (40)$$

در رابطه بالا x_r و z_r معرف شعاع‌های حباب در دو راستای x و z هستند و x_c و z_c معرف مختصات مرکز حباب‌اند. در تحقیق حاضر چهار کمیت ذکر شده به صورت زیر انتخاب شده‌اند:

$$x_r = 2.5 \text{ km}, z_r = 2.5 \text{ km}, x_c = 20 \text{ km}, z_c = 2.75 \text{ km} \quad (41)$$

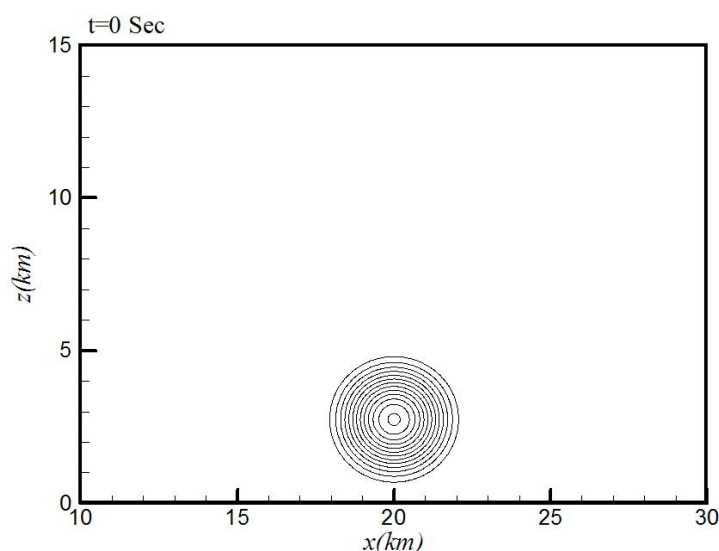
به عبارت دیگر حباب در مرکز حوزه محاسباتی قرار دارد و میدان پریشیدگی دمای پتانسیلی به صورت دایره است. از نظر محاسباتی پریشیدگی دمای پتانسیلی برای یک ترمال طوری اعمال می‌شود که میدان اولیه فشار

روش مک کورمک به دست آمده نشان داده شده است. پریشیدگی‌های مثبت و منفی با جبهه‌های موجی بزرگ کاملاً در شکل نمایان است و این جبهه‌ها با سرعت صوت به سمت مرزهای کناری و بالا حرکت می‌کنند. در زمان‌های در حدود 60 s این امواج به مرزهای کناری و بالا می‌رسند. با رسیدن این امواج به مرزها، بازتابی از این امواج به داخل حوزه محاسباتی مشاهده نشد که بیانگر این مطلب است که شرایط مرزی انتخاب شده برای طرحواره مک کورمک و یا با به عبارت دیگر شرط مرزی گرادیان شار صفر باعث نابازتابی شدن مرزها می‌شود (مندز-نوز و کرول، ۱۹۹۴؛ فلاحت، ۱۳۸۷).

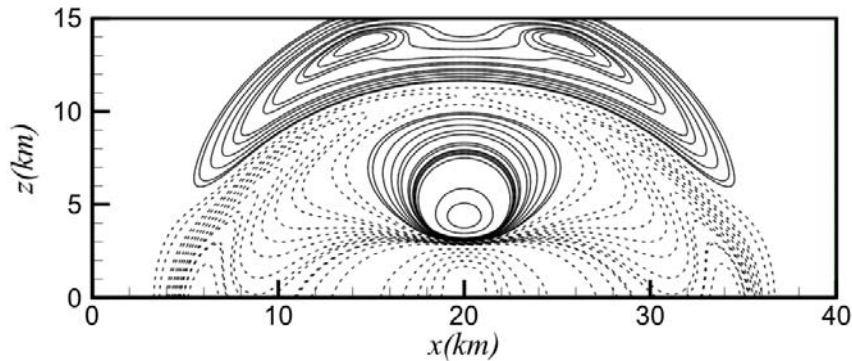
با توجه به اینکه طبق رابطه (۳۳) بیشینه پریشیدگی دمای پتانسیل در مرکز حباب قرار دارد، بنابراین مرکز حباب با بیشترین سرعت به سمت بالا حرکت می‌کند. بنابراین به علت آنکه سرعت حباب در مرکز حباب نسبت به بقیه نقاط بیشتر است، گرادیان دمای پتانسیلی با گذشت زمان افزایش می‌یابد.

که در آن C_s سرعت صوت در جو خشک و اندازه آن حدود $\frac{330 \text{ m}}{\text{s}}$ است. با توجه به این نکات برای تفکیک 801×301 نقطه از گام زمانی 0.05 s استفاده شده است. مقدار V برای این تفکیک در رابطه (۱۱) طبق آزمایش‌های عددی متعدد برابر با مقدار مناسب 5 در نظر گرفته شده است.

در شکل ۲ میدان اولیه پریشیدگی دمای پتانسیل نشان داده شده است. در این شکل پربندهای پریشیدگی دمای پتانسیل در بازه [0.5 K, 6.5 K] قرار دارند و فاصله بین دو پربند متوالی 0.5 K است. به دلیل اینکه دمای پتانسیلی ترمال بیشتر از محیط است، طبق رابطه (۳۶) چگالی ترمال از چگالی پیرامونش کمتر است، در نتیجه ترمال دارای شناوری مثبت خواهد بود و در راستای قائم حرکت می‌کند. ظهور ناگهانی ترمال که همانند یک انبساط ناگهانی در محیط است، باعث به وجود آمدن موج صوتی می‌شود که این موج همان گونه که به آن اشاره شد سریع‌ترین امواج در مدل‌های تراکم‌پذیر است. در شکل ۳ میدان پریشیدگی فشار در زمان 45 s که با استفاده از



شکل ۲. میدان اولیه پریشیدگی دمای پتانسیل در یک شبکه مستطیل شکل با تفکیک 801×301 . واحدها روی هر دو محور مختصات برحسب کیلومتر هستند. پربندهای هم‌دما در بازه [0.5 K, 6.5 K] قرار دارند و اختلاف بین دو پربند هم‌دما متوالی 0.5 K است. درونی‌ترین پربند دارای پریشیدگی دمای پتانسیل 6.5 K است.



شکل ۳. میدان پریشیدگی فشار در زمان $t=45$ s مربوط به روش مک‌کورمک مرتبه دوم که میدان موج صوتی انتشار یافته را نشان می‌دهد. خط‌چین‌ها معرف پریشیدگی منفی هستند.

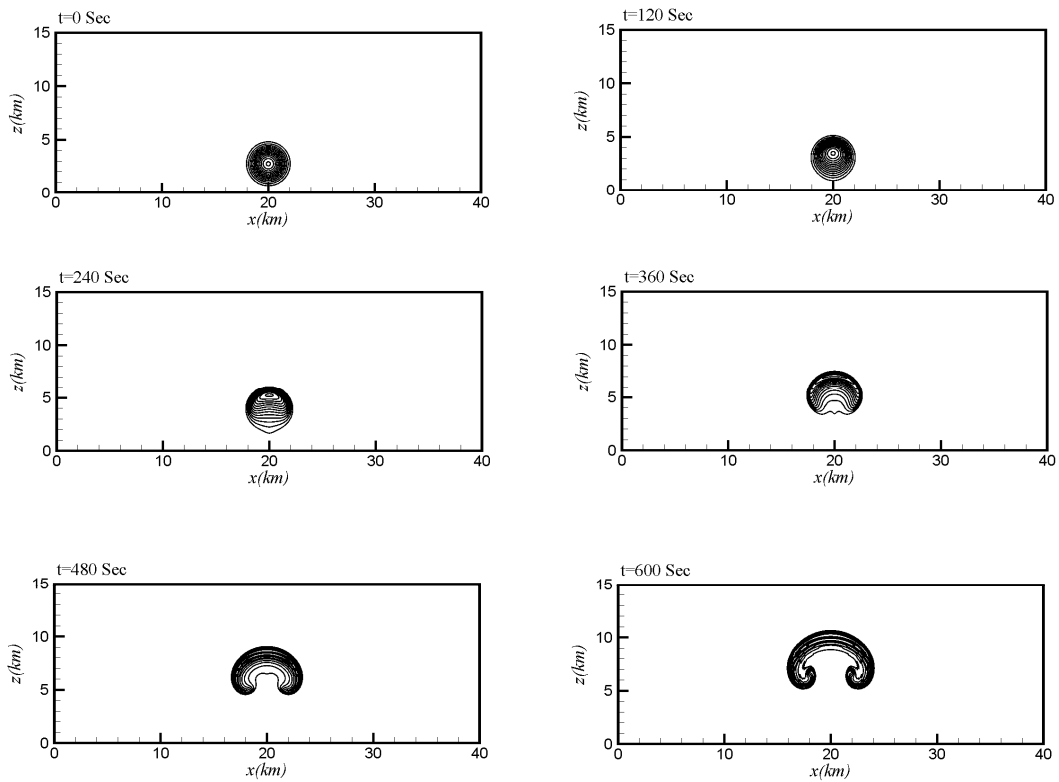
به علت خطای پاشندگی (Dispersion Error) روش مک‌کورمک مرتبه دوم باشد.

در شکل ۴ تحول زمانی میدان پریشیدگی دمای پتانسیل با بازه‌های زمانی 120 s نشان داده شده است. همان‌گونه که در این شکل مشاهده می‌شود با گذشت زمان، گرادیان دمای پتانسیل افزایش می‌یابد و در چنین موقعیتی به‌طور کلی یک طرحواره عددی که قدرت تفکیک زیادی در شبیه‌سازی چنین مناطقی با گرادیان‌های شدید داشته باشد، می‌تواند برتری خود را نسبت به سایر طرحواره‌ها نشان دهد. به عبارت دیگر در شبیه‌سازی حرکت یک ترمال در تحول زمانی میدان پریشیدگی دمای پتانسیلی دارای اهمیت ویژه است. میدان پریشیدگی دمای پتانسیلی تحت تاثیر میدان سرعت با زمان تغییر شکل پیدا می‌کند و به دلیل به وجود آمدن گرادیان دمایی در میدان پریشیدگی دمای پتانسیلی، تحول زمانی این میدان نسبت به بقیه متغیرها بیشتر مورد توجه قرار می‌گیرد.

با حرکت ترمال در راستای قائم، در زیر ترمال یک منطقه کم‌فشار به وجود می‌آید که باعث ایجاد یک همگرایی در سطح پایین و در زیر ترمال و همچنین یک واگرایی در بالای حباب گرم می‌شود. در جدول ۱ مقادیر کمینه و بیشینه متغیرهایی میدانی برای حباب گرم در زمان $t=600$ s نشان داده شده است. همان‌طور که در این جدول مشاهده می‌شود مقادیر مثبت و منفی برای میدان‌های سرعت افقی، قائم و پریشیدگی فشار وجود دارد که با توجه به ماهیت حرکت ترمال این مقادیر مثبت و منفی انتظار می‌رود. با وجود این، با توجه به اینکه حرکت ترمال فرایندی بی‌دررو است و در فرایند بی‌دررو دمای پتانسیل کمیتی پایستار است، محدوده تغییرات پریشیدگی دمای پتانسیل برای ترمال با توجه به رابطه (۳۳) می‌باید در بازه $[0 \text{ K}, 6.5 \text{ K}]$ قرار گیرد. همان‌گونه که در جدول ۱ مشاهده می‌شود محدوده تغییرات پریشیدگی دمای پتانسیل حل عددی در بازه $[-0.5305 \text{ K}, 8.7112 \text{ K}]$ قرار دارد که این می‌تواند

جدول ۱. مقادیر بیشینه و کمینه متغیرهای میدان برای یک حباب گرم در زمان $t=600$ s برای تفکیک 801×301 .

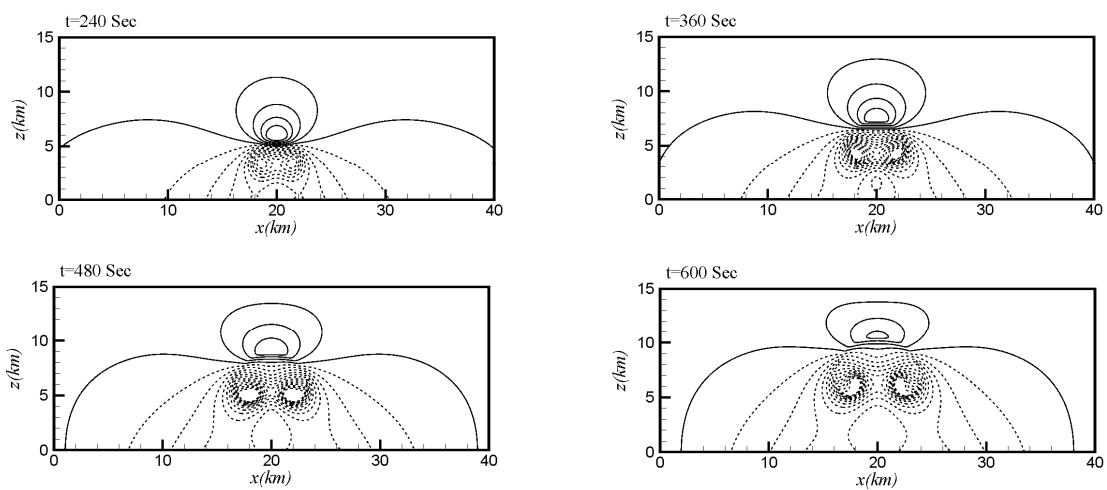
متغیرها	u_{\max}	u_{\min}	w_{\max}	w_{\min}
روش مک‌کورمک مرتبه دوم	20.1143	-20.1165	29.2161	-15.2393
متغیرها	P_{\max}	P_{\min}	θ_{\max}	θ_{\min}
روش مک‌کورمک مرتبه دوم	66.0019	-304.0527	8.7112	-0.5305



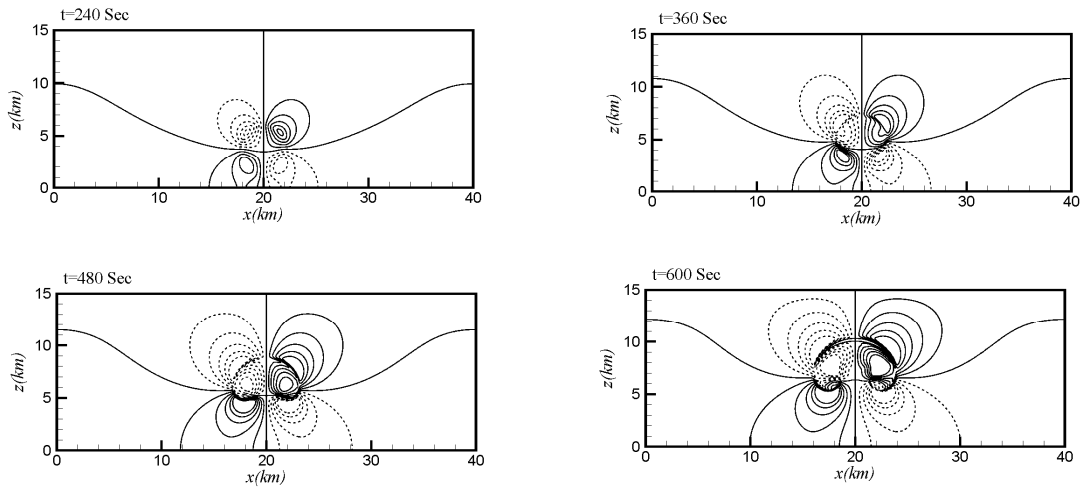
شکل ۴. تحول زمانی میدان پریشیدگی دمای پتانسیل برای یک حباب گرم در جو ختی از $t=0$ s تا زمان $t=600$ s با بازه‌های زمانی $t=120$ s، واحدها روی هر دو محور مختصات برحسب کیلومتر هستند.

شکل ۷ تحول زمانی میدان سرعت قائم نشان داده شده است. در این دو شکل نیز خط‌چین‌ها معرف سرعت افقی و قائم منفی هستند.

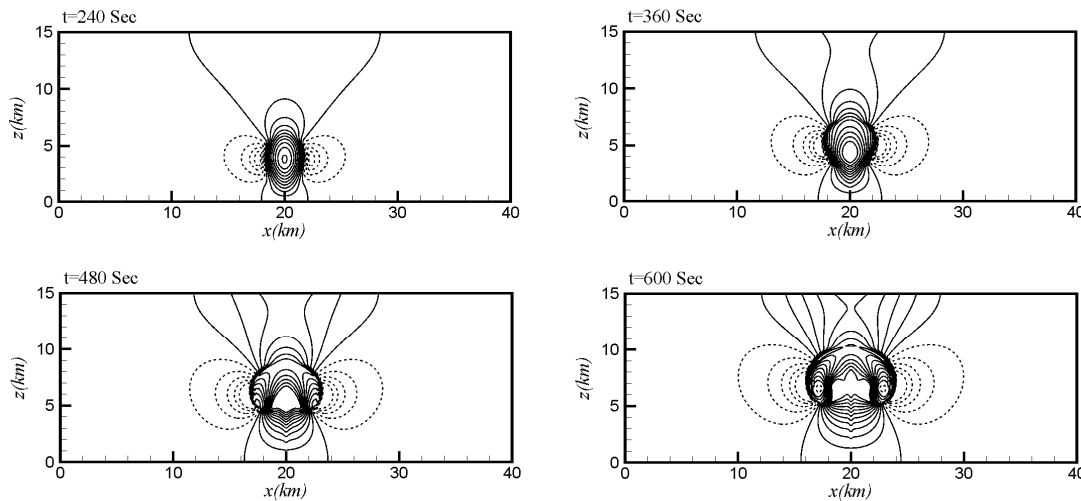
در شکل ۵ تحول زمانی میدان فشار نشان داده شده است. در این شکل خط‌چین‌ها معرف پریشیدگی فشار منفی‌اند. همچنین در شکل ۶ تحول زمانی میدان سرعت افقی و در



شکل ۵. تحول زمانی میدان پریشیدگی فشار برای یک حباب گرم در جو ختی از $t=240$ s تا زمان $t=600$ s با بازه‌های زمانی $t=120$ s، واحدها روی هر دو محور مختصات برحسب کیلومتر هستند. خط‌چین‌ها معرف پریشیدگی منفی‌اند.



شکل ۶. تحول زمانی میدان سرعت افقی برای یک حباب گرم در جو خنثی به ترتیب از سمت راست به چپ و از بالا به پایین از $t=240$ s تا زمان $t=600$ s با بازه‌های زمانی $t=120$ s، واحدها روی هر دو محور مختصات برحسب کیلومتر هستند.



شکل ۷. تحول زمانی میدان سرعت قائم برای یک حباب گرم در جو خنثی به ترتیب از سمت راست به چپ و از بالا به پایین از $t = 240$ s تا زمان $t = 600$ s با بازه‌های زمانی $t = 120$ s، واحدها روی هر دو محور مختصات برحسب کیلومتر هستند.

انتخاب شده با شرایط مرزی سخت یک شبکه مستطیلی با ابعاد 3.2 km طول و 4 km ارتفاع است. میدان پریشیدگی دمای پتانسیل برای حباب گرم با تابع زیر تعریف می‌شود:

$$\theta' = -2 \left(\frac{\beta}{R_b} \right) + 2, \quad \beta \leq R_b \quad (39)$$

که در آن $R_b = 1$ km شعاع حباب گرم و پارامتر β با رابطه زیر بیان می‌شود:

۴-۴ نتایج حل عددی مربوط به حباب گرم در جو خنثی با شرایط مرزی سخت

در این قسمت شبیه‌سازی یک حباب گرم در جو خنثی در حالتی که مرزهای حوزه انتخاب شده برای بررسی آن از نوع مرز سخت هستند، مورد تحقیق قرار می‌گیرد (این نوع آزمون موردی را اولین بار کارپنتر و همکاران (۱۹۹۰) مورد بررسی قرار دادند). به عبارت دیگر مرزهای کناری و بالا و پایین این حوزه از نوع مرز سخت است. حوزه

شده برای بررسی تکامل یک حباب سرد در شرایط جوی خنثی، شبکه‌ای مستطیل شکل با ابعاد 25.6 km طول و 6.4 km ارتفاع است. شرایط مرزی این حوزه محاسباتی بدین ترتیب است که همه مرزهای این حوزه، مرز سخت در نظر گرفته می‌شوند.

در تحقیق حاضر برای شبیه‌سازی حباب سرد برخلاف حباب گرم از پریشیدگی میدان دمای اولیه استفاده می‌شود. میدان پریشیدگی دمای اولیه برای یک حباب سرد با تابع زیر تعریف می‌شود:

$$T' = -15.0 \cos^2\left(\frac{\pi\beta}{2}\right), \quad \beta \leq 1 \quad (42)$$

که در آن پارامتر β با رابطه زیر بیان می‌شود:

$$\beta = \sqrt{\left(\frac{x - x_c}{x_r}\right)^2 + \left(\frac{z - z_c}{z_r}\right)^2} \quad (43)$$

در رابطه بالا x_r و z_r معرف شعاع‌های حباب سرد در دو راستای x و z ، و x_c و z_c معرف مختصات مرکز حباب هستند. در تحقیق حاضر چهار کمیت ذکر شده دارای اندازه‌های زیرند:

$$x_r = 4 \text{ km}, z_r = 2 \text{ km}, x_c = 0 \text{ km}, z_c = 3.0 \text{ km} \quad (44)$$

با معلوم بودن میدان اولیه دما، میدان پریشیدگی دمای پتانسیل با استفاده از رابطه (۳۷) به دست می‌آید. سایر مطالب مربوط به آغازگری میدان‌های فشار و چگالی مشابه با مراحل آغازگری حباب گرم است. تفکیک انتخاب شده برای شبیه‌سازی عددی حباب سرد مطابق با آنچه که استراکا و همکاران (۱۹۹۳) بیان کرده‌اند، تفکیک 1025×257 است. گام زمانی انتخاب شده برای این تفکیک و همچنین ν به ترتیب برابر با مقادیر 0.01562 s و 75 است. در شکل ۹ تحول زمانی میدان پریشیدگی دمای پتانسیل از زمان اولیه تا زمان 900 s حاصل از حل عددی به کمک روش مک کورمک مرتبه

$$\beta = \sqrt{(x - x_c)^2 + (z - z_c)^2} \quad (40)$$

در این رابطه x_r و z_r معرف مختصات مرکز حباب‌اند که در اینجا دارای اندازه‌های زیر هستند:

$$x_c = 0 \text{ km}, z_c = 1 \text{ km} \quad (41)$$

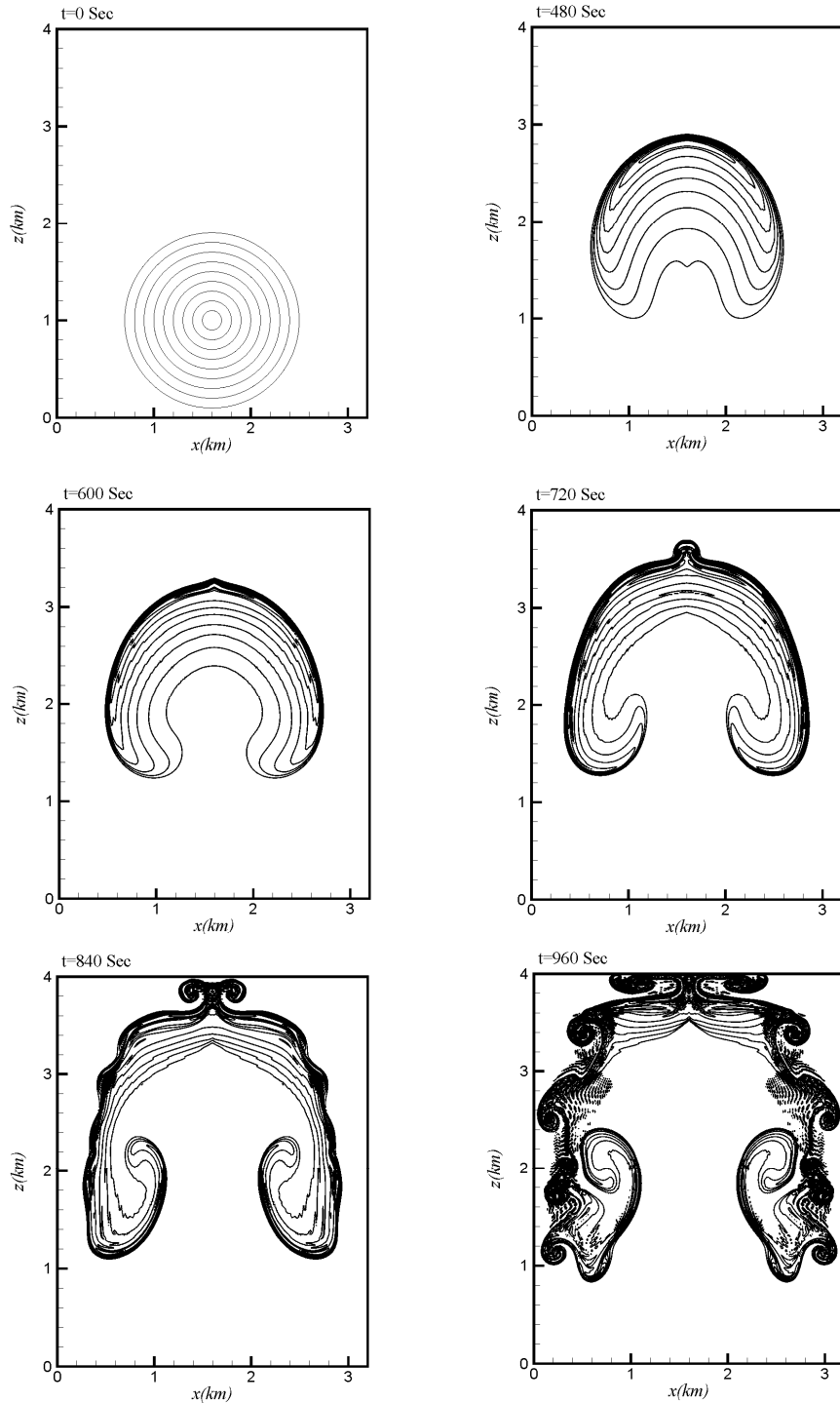
برای شبیه‌سازی عددی حباب گرم از تفکیک 321×401 نقطه، متناظر با فاصله شبکه‌ای یکنواخت 10 m در دو راستای محور مختصات استفاده شده است. گام زمانی انتخاب شده برای این تفکیک و همچنین ν به ترتیب برابر با مقادیر 0.01 s و 0.01 است.

در شکل ۸ تحول زمانی میدان پریشیدگی دمای پتانسیل از زمان اولیه تا زمان 960 s حاصل از حل عددی به کمک روش مک کورمک مرتبه دوم نشان داده شده است. همان‌طور که در شکل مشاهده می‌شود با حرکت قائم حباب به سمت بالا گرادیان دمای پتانسیل افزایش می‌یابد و بعد از اینکه حباب به مرز سخت بالا نزدیک شد، ناپایداری در لبه‌های حباب اتفاق می‌افتد. مشابه این ناپایداری در مرز خارجی ابرهای همرفتی شدید در جو قابل مشاهده است. ساختارهای همدوس حاصل در مرز حباب در اثر ناپایداری قابل مشاهده‌اند. البته لازم به ذکر است که نحوه ایجاد این ساختارهای همدوس که معرف رشد سلول ابر همرفتی است در واقعیت تابعی از فرایند دررو تشکیل ابر و ایجاد گرمای نهان نیز هست (بهات و نارسیما ۱۹۹۶).

۴-۵ تایج حل عددی مربوط به حباب سرد در جو خنثی

در این قسمت شبیه‌سازی یک حباب سرد که اولین بار استراکا و همکاران (۱۹۹۳) آن را مورد تحقیق قرار دادند، با استفاده از حل عددی معادلات تراکم‌پذیر و غیرهیدروستاتیک جو بررسی می‌شود. مطابق با آنچه که استراکا و همکاران (۱۹۹۳) بیان کرده‌اند، حوزه انتخاب

دوم و همچنین در شکل ۱۰ نتایج به دست آمده استراکا و همکاران (۱۹۹۳) نشان داده شده است.



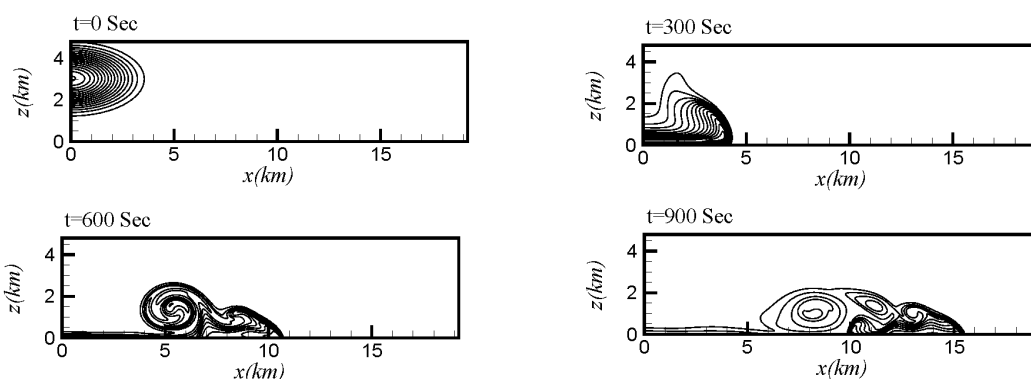
شکل ۸. تحول زمانی میدان پریشیدگی دمای پتانسیلی برای یک حباب گرم در خشتی از $t=480$ s تا زمان $t=960$ s با بازه‌های زمانی $t=120$ s. واحدها روی هر دو محور مختصات برحسب کیلومتر هستند. اولین شکل در سمت چپ برای زمان $t=0$ s است. پریندهای هم‌دما در بازه $[0.2 \text{ K}, 2 \text{ K}]$ قرار دارند و اختلاف بین دو پریند هم‌دما متوالی 0.2 K است. درونی‌ترین پریند دارای پریشیدگی دمای پتانسیل 2 K است.

صورت گیرد، در جدول ۲ مقادیر بیشینه و کمینه متغیرهای میدان در زمان 900 s نشان داده شده است. همان گونه که در این جدول مشاهده می شود، مطابقت خوبی بین نتایج حاصل از روش مک کورمک مرتبه دوم و نتایج عددی به دست آمده استراکا و همکاران (۱۹۹۳) وجود دارد.

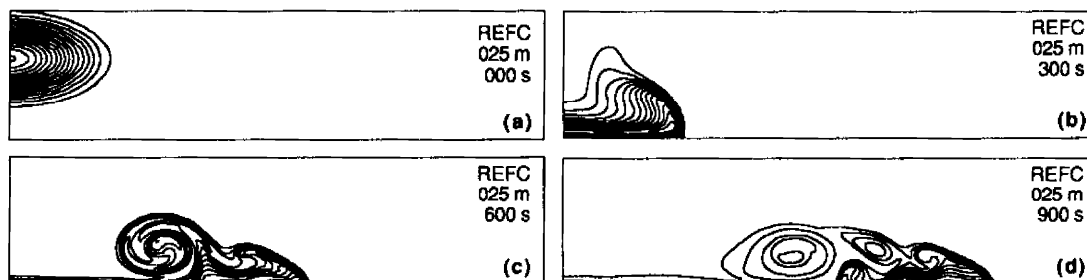
همان گونه که مشاهده می شود به طور کیفی مطابقت خوبی بین نتایج عددی حاصل از روش مک کورمک مرتبه دوم و نتایج عددی به دست آمده استراکا و همکاران (۱۹۹۳) وجود دارد. در ادامه برای اینکه مقایسه کمی بین نتایج عددی حاصل از روش مک کورمک مرتبه دوم و نتایج عددی به دست آمده استراکا و همکاران (۱۹۹۳)

جدول ۲. مقایسه مقادیر بیشینه و کمینه متغیرهای میدان حاصل از حل عددی به کمک روش مک کورمک مرتبه دوم و استراکا و همکاران (۱۹۹۳) برای یک حباب سرد در زمان $t=900$ s برای تفکیک 1025×257 .

متغیرها	u_{\max}	u_{\min}	w_{\max}	w_{\min}
روش مک کورمک مرتبه دوم	36.85	-14.92	12.49	-15.72
استراکا و همکاران (۱۹۹۳)	36.46	-15.19	12.93	-15.95
متغیرها	P_{\max}	P_{\min}	θ_{\max}	θ_{\min}
روش مک کورمک مرتبه دوم	198	-583	0.0	-9.65
استراکا و همکاران (۱۹۹۳)	287	-514	0.0	-9.77



شکل ۹. تحول زمانی میدان پرتشیدگی دمای پتانسیل برای یک حباب سرد در جو خنثی برای روش مک کورمک مرتبه دوم در یک شبکه مستطیل شکل با تفکیک 1025×257 از $t=0$ s تا زمان $t=900$ s با بازه های زمانی $t=300$ s، واحدها روی هر دو محور مختصات برحسب کیلومتر هستند. پرتندهای هم دما در بازه $[-16.5 \text{ K}, -5 \text{ K}]$ قرار دارند و اختلاف بین دو پرتند هم دمای متوالی -1 K است. درونی ترین پرتند دارای پرتشیدگی دمای پتانسیل -16.5 K است.



شکل ۱۰. نتایج عرضه شده استراکا و همکاران (۱۹۹۳) برای یک حباب سرد در جو خنثی.

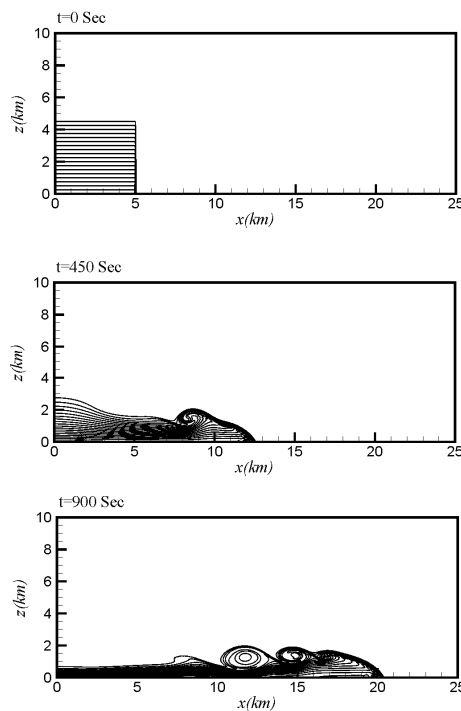
ذکر این نکته ضروری است که مطالب مربوط به آغازگری میدان‌های فشار و چگالی جریان گرانی مشابه با مراحل آغازگری حباب گرم و سرد است. تفکیک انتخاب‌شده برای شبیه‌سازی عددی جریان گرانی مطابق با آنچه که احمد و لیندمن (۲۰۰۷) بیان کرده‌اند، تفکیک 501×201 است. گام زمانی انتخاب‌شده برای این تفکیک و همچنین ۷ به ترتیب برابر با مقادیر 0.05 s و 50 است. در شکل ۱۱ تحول زمانی میدان پریشیدگی دمای پتانسیل به ترتیب در زمان‌های 0 s، 450 s و 900 s حاصل از حل عددی به کمک روش مک کورمک مرتبه دوم نشان داده شده است. مقایسه کیفی این شکل با نتایج عددی به دست آمده احمد و لیندمن (۲۰۰۷) درستی جواب‌های حاصل را مورد تایید قرار می‌دهد.

۴-۶ نتایج حل عددی مربوط به جریان گرانی

در این قسمت شبیه‌سازی یک جریان گرانی که اولین بار از سوی دروگمیر و ویلهمسون (۱۹۸۷) معرفی شده است و همچنین احمد و لیندمن (۲۰۰۷) آن را مورد تحقیق قرار داده‌اند، با استفاده از روش مک کورمک مرتبه دوم مورد بررسی قرار می‌گیرد. مطابق با آنچه که دروگمیر و ویلهمسون (۱۹۸۷) بیان کرده‌اند، حوزه انتخاب شده برای بررسی جریان گرانی در شرایط جوی خشی، شبکه‌ای مستطیل‌شکل با ابعاد 25 km طول و 10 km ارتفاع است. شرایط مرزی این حوزه محاسباتی بدین ترتیب است که همه مرزهای این حوزه، مرز سخت در نظر گرفته می‌شوند. برای شبیه‌سازی جریان گرانی از پریشیدگی میدان دمای پتانسیلی اولیه به صورت زیر استفاده می‌شود:

$$\theta' = -\frac{2}{1000}z$$

$$0 \leq z \leq 5 \text{ km}, 0 \leq x \leq 5 \text{ km} \quad (45)$$



شکل ۱۱. تحول زمانی میدان پریشیدگی دمای پتانسیل برای یک جریان گرانی در جو خشی برای روش مک کورمک مرتبه دوم در یک شبکه مستطیل‌شکل با تفکیک 501×201 واحدها روی هر دو محور مختصات برحسب کیلومتر هستند. پریندهای هم‌دما در بازه $[-10 \text{ K}, -1 \text{ K}]$ قرار دارند و اختلاف بین دو پریند هم‌دما متوالی -0.5 K است. پایین‌ترین پریند دارای پریشیدگی دمای پتانسیل -10 K است.

۵ جمع‌بندی و نتیجه‌گیری

حل عددی شکل پایستار معادلات تراکم‌پذیر دو بُعدی و غیرهیدروستاتیک جو با استفاده از روش فشرده مک کورمک مرتبه دوم مورد بررسی قرار گرفت. یکی از نکات مهمی که در فرایند حل عددی شکل پایستار معادلات تراکم‌پذیر دو بُعدی و غیرهیدروستاتیک با استفاده از این روش مشاهده شد، سادگی اعمال شرط مرزی نابازتابی در روش مک کورمک مرتبه دوم است. برای شبیه‌سازی حباب‌های گرم و سرد در جو خنثی، مشاهده شد که در متغیر پریشیدگی دمای پتانسیلی با گذشت زمان گرادیان‌ها افزایش می‌یابد و عملکرد طرحواره‌های گوناگون در چنین حالتی متمایز می‌شود. همچنین مقایسه نتایج عددی عرضه شده برای شبیه‌سازی حباب سرد در جو خنثی با استفاده از روش مک کورمک مرتبه دوم با کار سایر محققان، گویای این مطلب است که روش مک کورمک مرتبه دوم در شبیه‌سازی معادلات دو بُعدی و تراکم‌پذیر است. با توجه به اینکه روش پیش‌گفته دارای میزان پخش عددی زیادی نیست مناطق جبهه‌ای همراه با گرادیان‌های شدید، گرادیان‌هایش را حفظ می‌کند و با گذشت زمان دچار ناپایداری می‌شوند. ناپایداری‌های ایجاد شده اغلب باعث تولید پیچک‌ها (یا ساختارهای همدوس) می‌شوند که معرف ناپایداری جریان‌های بُرشی است. با توجه به عملکرد مناسب روش عددی مک کورمک، می‌توان این بررسی‌های عددی را برای جو با شرایط واقعی‌تر (جو غیرخنثی، دررو و مانند آن) نیز صورت داد تا بتوان بررسی‌های دقیق‌تری در زمینه‌های کاربردی را عملی ساخت.

تشکر و قدردانی

نویسندگان مقاله از دانشگاه تهران به واسطه حمایت از این کار تحقیقاتی تشکر می‌کنند.

منابع

- بیدختی، ع. ع.، بیوک، ن. و ثقفی، م. ع.، ۱۳۸۳، بررسی ساختار چند جریان جستانک توفان‌های همرفتی تهران با استفاده از داده‌های سودار، م. فیزیک زمین و فضا، (۲)، ۳۰، ۹۳-۱۱۳.
- فلاح، س.، ۱۳۸۷، حل عددی شکل پایستار معادلات تراکم‌پذیر دو بُعدی و غیرهیدروستاتیک جو بی‌دررو با استفاده از روش فشرده مرتبه چهارم، پایان‌نامه کارشناسی ارشد، موسسه ژئوفیزیک دانشگاه تهران.
- Ahmad, N., Lindeman, J., 2007, Euler Solutions Using Flux-Based Wave Decomposition, *Int. J. Numer. Meth. Fluids*, **54**, 47-72.
- Bhat, G. S. and Narasimha, R., 1996, A Volumetrically Heated Jet: Large-Eddy Structure and Entrainment Characteristics., *J. Fluid Mech.*, **325**, 303-330.
- Carpenter, R. L., Droegemeier, K. K., Woodward, P. R. and Hane, C. E., 1990, Application of Piecewise Parabolic Method (PPM) to Meteorological Modeling, *Mon. Wea. Rev.*, **118**, 586-612.
- Carroll, J. J., Mendez-Nunez, L. R. and Tanrikulu, S., 1987, Accurate Pressure Gradient Calculation in Hydrotatic Atmospheric Models. *Bound.-Layer Meteor.*, **41**, 149-169.
- Droegemeier, K. K. and Wilhemson, R. B., 1987, Numerical simulation of thunderstorm outflow dynamics. Part I: Outflow Sensitivity Experiments and Turbulent Dynamics. *J. Atmos. Sci.*, **44**, 1180-1210.
- Durran, D. R., 1999, *Numerical Methods for Wave Equations in Geophysical Fluid Dynamics*, Springer, New York, 464 pp.
- Gottlieb, D. and Turkel, E., 1987, Boundary Conditions for Multisteps Finite-Difference Method for Time Dependent Equations., *J. Comput. Phys.* **158**, 51-70.
- Hoffman, Joe. D., 2001, *Numerical Methods for Engineering and Scientist*. Marcel Dekker, Second Edition, 823 pp.
- Lilly, D. K., 1962, On the Numerical Simulation of Buoyant Convection. *Tellus*, **14**, 148-173.
- Mendez-Nunez, L. R. and Carrol, J. J., 1994, Application of the MacCormack Scheme to Atmospheric Nonhydrostatic Models. *Mon. Wea. Rev.*, **122**, 984-1000.
- Nash' at Ahmad and Lindeman John, 2007, Euler Solution Using Flux-Based Wave

- Decomposition. *Int. J. Numer. Meth. Fluids*, **54**, 47-72.
- Straka, J. M., Wilhelmson, R. B., Wicker, L. J., Anderson, J. R., Droegemeier, K. K., 1993, Numerical Solutions of a Non-linear Density Current: A Benchmark Solution and Comparisons. *Int. J. Numer. Meth. Fluids*, **17**, 1-22.
- Tripoli, G. J., 1992, A Nonhydrostatic Mesoscale Model Designed to Simulate Scale Interaction. *Mon. Wea. Rev.*, **120**, 1342-1359.